

一个快速的二值分组算术编码器

杨胜天,仇佩亮

(浙江大学 信息与电子工程学系, 浙江 杭州 310027)

摘要:原有的分组算术编码算法在区间再分割中需要进行耗时的算术运算,为克服这一不足,提出了一个快速高效、无乘法的二值分组算术编码算法。该算法采用简单的查表法来完成区间再分割中的计算关键性运算。通过采用概率量化和改进的重正化方法,显著地降低了查找表的大小,从而给出了一个实用的算术编码方案。仿真结果表明,该编码器的性能比一些常用的快速编码器更接近于源编码理论的理论下限。

关键词:分组算术编码;源编码;数据压缩

中图分类号:TN911.21

文献标识码:A

文章编号:1008-973X(2004)04-0461-04

Rapid binary block arithmetic coder

YANG Sheng-tian, QIU Pei-liang

(Department of Information Science and Electronic Engineering, Zhejiang University, Hangzhou 310027, China)

Abstract: Original algorithm of block arithmetic coding needs to perform time-consuming arithmetic operations during the interval subdivision, then in order to overcome this shortcoming, a quick and efficient algorithm of multiplication-free binary block arithmetic coding was proposed. The algorithm relied on simple table lookups for performing the computationally critical operations of interval subdivision. By using the methods of probability quantization and modified renormalization operation, the size of the lookup table was reduced remarkably, and consequently a practical arithmetic coding scheme was given. The simulation results show that the performance of the proposed coder is closer to the theoretic lower bound of source coding than some popular rapid coders.

Key words: block arithmetic coding; source coding; data compression

信源无失真编码的基本问题就是在给定信源的前提下如何设计具有最佳编码效率(即平均码长逼近信源熵)的编码方案。目前,使用最广泛的编码方案是霍夫曼编码^[1]和算术编码^[2,3]。霍夫曼编码属于一类最优前缀码,在离散无记忆信源下,该编码算法的平均码长小于信源熵加1,但在大多数情况下,其平均码长并不能很好地逼近信源熵这一下限,要进一步提高编码效率就必须采用扩展字符集的技术,此外,其算法实现也较复杂,尤其是在自适应方式下。与霍夫曼编码相比,算术编码是从全序列出发进行编码的,所以理论上可以无限逼近信源熵这一下限,但它的缺点是算法复杂,且信道误差的扩散问题

十分严重。

分组算术编码的编码方案的提出,克服了一般算术编码方案的许多不足。它的基本思路就是在一般有限精度算术编码的基础上,放弃原有算术编码的重正化(renormalization)操作,当整数区间的精度无法表示字符集时,就输出对应的整数,然后再将整数区间恢复到初始状态,有关该类编码算法的编码效率理论分析参见文献[4]。虽然分组算术编码因此丧失了一定的编码效率,但也因而获得了其他的一些优点。与霍夫曼编码、一般算术编码相比,该编码方案是变长码输入、定长码输出,因此它具有分组码的优点,而且由于分组输出,消除了算术编码中的

进位传送(carry propagation)问题,从而使算法在实现上要简单得多。但是现有的基本分组算术编码算法也存在一些不足,主要是每编码一个字符,算法中就需要进行数次的乘法与除法运算,这些算术运算十分耗时,所以需要通过改进算法来消除乘除运算,从而进一步提高编码速度。

1 分组算术编码基本原理

为了便于理解快速算法的设计思想,首先需要从算术编码的角度来理解分组算术编码的基本原理。本文主要讨论二值编码算法,仅局限于二值分组算术编码的原理,多字符的算法可以很容易地通过推广得到。

设信源为 $\langle B^*, P \rangle$, $B^* = \{0, 1\}^*$ 表示所有有限长二值字符串的集合,也包括空串 ϵ , P 赋予每个字符串 s 一个概率值 $P(s)$,且满足

$$P(s0) + P(s1) = P(s), P(\epsilon) = 1.$$

式中: sk ($k=0, 1$)表示字符串 s 和字符 k 的连接。

任何高效率的源编码,都要求使字符串的编码长度尽可能逼近 $-\log P(s)$,在算术编码中,则是通过把相同长度的字符串按一定的字典序排列,同时以小于字符串 s 的概率累积和 $C(s)$ 的估计作为该字符串的码字。例如,假设 $s0 < s1$,则概率累积和 $C(s)$ 将由下式递归定义:

$$C(s0) = C(s), C(s1) = C(s) + P(s0).$$

为和文献[2]保持一致,令 $A(s) = P(s)$,则可重新表示为

$$C(\epsilon) = 0, A(\epsilon) = 1,$$

$$C(s0) = C(s), A(s0) = A(s)P(0|s),$$

$$C(s1) = C(s) + A(s0), A(s1) = A(s) - A(s0).$$

上述算法的关键在于 $A(s0)$ 的计算。由于在具体实现中, $A(s)$ 只能为有限精度(即其二进制小数表示下的有效位数是有限的),每次乘法都是近似的,要获得尽可能高的编码效率,就要将有限的精度用足,即每次乘法前都要确保二进制小数 $A(s)$ 的第一个非零位在寄存器允许的取值范围内移到最高位,其对应的算法为

设有效位数为 m , $2^{-n-1} < A(s) \leq 2^{-n}$, 则

$$A(s0) = 2^{-n-m} \min \{2^{n+m} A(s) - 1, 1\},$$

$$\max \{ \lfloor 2^{n+m} A(s) P(0|s) + 0.5 \rfloor, 1 \}.$$

式中:函数 $\lfloor x \rfloor$ 表示不大于 x 的最大整数。

每次递归运算后, $A(s)$ 可能会变得更小,所以要保持上述的要求,在实际实现中,就需要对寄存器进行由低位向高位的移位,同时空出来的低位补 0,

直到第一个非零位在寄存器允许的取值范围($AR \leq 2^m$,如图 1)内移到最高位,当然 $C(s)$ 也要通过移位与 $A(s)$ 保持一致的精度,这就是重正化操作。图 1 为实际算术编码的过程,图中 $m=5$, $0 \leq CR \leq 2^m$, $2^{m-1} < AR \leq 2^m$.

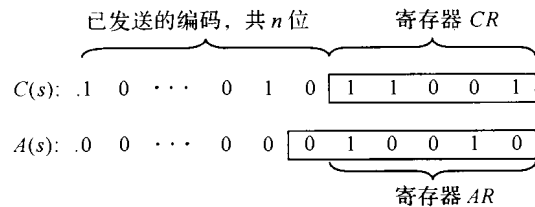


图 1 一般算术编码的工作原理

Fig. 1 Mechanism of general arithmetic coding

分组算术编码不同于一般算术编码之处在于它并不是每次都进行重正化操作,即不是每次乘法前都要确保二进制小数 $A(s)$ 的第一个非零位在寄存器的最高位,而是在 $A(s)$ 的有效位数变为 1,或者说在二进制小数的第一个非零位跑到寄存器的最低位时,才进行一次重正化操作,恢复至 m 位,同时输出一个长度为 m 的分组码,其算法为

设有效位数为 m , $2^{-(i+1)m} < A(s) \leq 2^{-im}$, 则

$$A(s0) = 2^{-(i+1)m} \min \{2^{(i+1)m} A(s) - 1,$$

$$\max \{ \lfloor 2^{(i+1)m} A(s) P(0|s) + 0.5 \rfloor, 1 \}.$$

图 2 为实际分组算术编码的过程,图中 $m=3$, $0 \leq CR < 2^m$, $1 < AR \leq 2^m$.

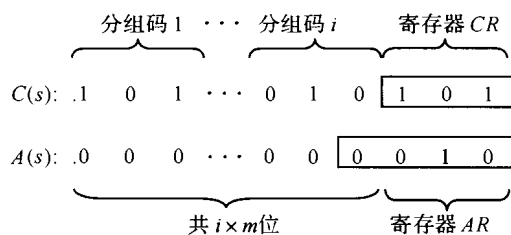


图 2 分组算术编码的工作原理

Fig. 2 Mechanism of block arithmetic coding

从算法设计的角度来看,分组算术编码的最大好处就是完全消除了进位传送问题。所谓进位传送问题就是在某次递归计算中, $C(sk)$ 发生了进位,如果寄存器和缓冲区中高位的每一位均为 1,进位会波及到已发送出去的比特位,导致编码出错。为了克服这个问题,各类算术编码都相应采取了一些较为复杂的策略,而在分组算术编码中,不存在这类问题,可以证明: $\forall s \in B^*$, 若 $2^{-(i+1)m} < A(s) \leq 2^{-im}$, 则

$$C(s111\dots) < 2^{-im} \lfloor 2^{im} C(s) \rfloor + 2^{-im}.$$

证明 采用数学归纳法。

(1) 当 $s = \epsilon$ 时, 显然成立。因为 $C(\epsilon) = 0$ 、 $A(\epsilon) = 1$, 即 $i = 0$, 故

$$\begin{aligned} C(111\dots) &< C(\epsilon) + A(\epsilon) = \\ &\lfloor C(\epsilon) \rfloor + 1 = \\ &2^{-0 \times m} \lfloor 2^{0 \times m} C(\epsilon) \rfloor + 2^{-0 \times m}. \end{aligned}$$

(2) 设当 $s=t$ 时,若 $2^{-(i+1)m} < A(t) \leq 2^{-im}$,且 $C(t111\dots) < 2^{-im} \lfloor 2^{im} C(t) \rfloor + 2^{-im}$ 成立,则当 $s=tk$ ($k=0,1$) 时:

$$\begin{aligned} \text{若 } 2^{-(i+1)m} &< A(tk) \leq 2^{-im}, \text{ 则} \\ C(tk111\dots) &\leq C(t111\dots) < \\ &2^{-im} \lfloor 2^{im} (Ct) \rfloor + 2^{-im} \leq \\ &2^{-im} \lfloor 2^{im} C(tk) \rfloor + 2^{-im}; \\ \text{若 } A(tk) &= 2^{-(i+1)m}, \text{ 则} \\ C(tk111\dots) &< C(tk) + A(tk) \stackrel{(a)}{=} \\ &2^{-(i+1)m} \lfloor 2^{(i+1)m} C(tk) \rfloor + \\ &2^{-(i+1)m}. \end{aligned}$$

式中:(a)是基于在分组算术编码器当前状态下, $C(tk)$ 的有效小数位(指在重正化操作前寄存器中的数据和已发送的数据),总共只有 $(i+1)m$ 位,即*i+1*个分组.

综合上述两点,命题得证.

可见,只要缓冲区加寄存器的长度大于 m 比特,就可以避免进位传送问题.

2 快速算法的设计

2.1 重正化算法的改进

通过上述分析可知,分组算术编码的基本运算如下式:

$$\begin{aligned} A(s0) &= 2^{-(i+1)m} \min \{2^{(i+1)m} A(s) - 1, \\ &\max \lfloor \{ \lfloor 2^{(i+1)m} A(s) P(0|s) + 0.5 \rfloor, 1 \} \rfloor \}. \end{aligned}$$

要提高算法的速度,关键是要提高其瓶颈 $2^{(i+1)m} A(s) P(0|s)$ 的速度.有两种方法可以采用:一种是近似算法,这种思路被 IBM 的 Q 编码器^[5]所采用;另一种则是将不同区间长度 $A(s)$ 和概率 $P(0|s)$ 的每个 $2^{(i+1)m} A(s) P(0|s)$ 都预先计算出来,列成表格以备查找.

本文的编码器正是采用了后一种算法,但毕竟表格是有限的,所以必须对概率进行最优量化.但是,概率量化和查表方法又带来了另一个问题,即算法的空间复杂性.假设分组算术编码算法的分组长度为 N ,概率的量化级数为 K ,则需要的存储空间数量级为 $O(2^N K)$,所以随着 N 的增长,空间复杂性呈指数增长,这就给实际应用带来了极大的矛盾.一方面为了提高编码效率,需要提高 N 值,而另一方面为了降低内存开销,又不得不降低 N 值.为了

解决这一问题,本文在重正化算法上作了改进,既不是每次都进行重正化操作,也不是在 $A(s)$ 的有效位数变为 1 时,才进行一次重正化操作,于是得到以下改进的算法:

设分组长度为 N ,有效位数为 M ,重正化参数为 R ,且 $R|N$ (R 的实际含义是当二进制小数 $A(s)$ 中的第一个非零位距寄存器的最高位相差 R 位或更多,同时分组长度 N 还未用尽时,要求采取重正化操作,在具体算法实现中, R 可以不整除 N).此外,在快速算法中采用的字典序不是 $s_0 < s_1$,而是 $sh < sl$ (h 表示取较高概率的字符, l 表示取较低概率的字符,比如当 $P(0|s) < P(1|s)$ 时, $l=0, h=1$,则 $s_1 < s_0$).最后设 $2^{-iN-(j+1)R} < A(s) \leq 2^{-iN-jR}$, $0 \leq j < N/R$,则

$$\begin{aligned} C(sh) &= C(s), C(sl) = C(s) + A(sh), \\ A(sh) &= 2^{-r} \min \{2^r A(s) - 1, \\ &\max \lfloor \{ \lfloor 2^r A(s) P(h|s) + 0.5 \rfloor, 1 \} \rfloor\}, \\ A(sl) &= A(s) - A(sh), \\ r &= \min \{iN + jR + M, (i+1)N\}. \end{aligned}$$

在上述算法的基础上构造函数表:

$$\begin{aligned} T(X, Y) &= T(2^r A(s), P(h|s)) = \\ &\min \{2^r A(s) - 1, \\ &\max \lfloor \{ \lfloor 2^r A(s) P(h|s) + 0.5 \rfloor, 1 \} \rfloor\}, \\ \text{因为 } 1 &< 2^r A(s) \leq 2^M, \text{ 并且设 } P(h|s) \text{ 的量化级数为 } \\ K \text{ (实际上 } 0.5 \leq P(h|s) < 1), \text{ 所以函数表共有 } \\ (2^M - 1)K \text{ 项,与分组长度 } N \text{ 无关,且算法可以重新} \\ \text{写为} \end{aligned}$$

$$\begin{aligned} A(sh) &= 2^{-r} T(2^r A(s), P(h|s)), \\ r &= \min \{iN + jR + M, (i+1)N\}. \end{aligned}$$

2.2 最优概率量化方案的设计

由相对熵的性质知,若 P, Q 为两个概率分布,则

$$D(P \parallel Q) \geq 0,$$

当且仅当 $P=Q$ 时,取等号.

相对熵的实际意义就是当以估计概率分布 Q 的算术编码去编码概率分布为 P 的信源时,其平均码长与信源熵的差值.所以,量化方案的设计采用如下的最优化准则:

$$Q_{\min}(P) = \arg \min_Q \max_P D(P \parallel Q(P)).$$

在二值离散无记忆信源的情形下

$$P=(p, 1-p), Q(P)=(q(p), 1-q(p)).$$

由于 $0.5 \leq P(h|s) < 1$,只需考虑概率 $0.5 \leq p \leq 1$ 的情形. $q(p)$ 就是一般的标量量化函数,该函数的参数是量化级数 K .实际中,取量化级数 $K=16$,通过最优化算法可以得到表 1 的量化方案.

表1 概率的最优量化

Tab. 1 Optimal quantization of probability

概率区间	量化值	概率区间	量化值
[0.500 0, 0.522 8)	0.500 0	[0.816 4, 0.850 4)	0.833 6
[0.522 8, 0.568 3)	0.545 6	[0.850 4, 0.881 5)	0.866 2
[0.568 3, 0.613 2)	0.590 8	[0.881 5, 0.909 4)	0.895 7
[0.613 2, 0.657 2)	0.635 3	[0.909 4, 0.933 9)	0.921 9
[0.657 2, 0.699 8)	0.678 6	[0.933 9, 0.954 8)	0.944 6
[0.699 8, 0.740 8)	0.720 5	[0.954 8, 0.971 8)	0.963 6
[0.740 8, 0.779 8)	0.760 5	[0.971 8, 0.988 7)	0.978 8
[0.779 8, 0.816 4)	0.798 3	[0.988 7, 1.000 0]	0.995 0

2.3 算法实现的框图

图3给出了快速编码器的整体结构。除了编码器本身，算法还包括一个概率估计器。

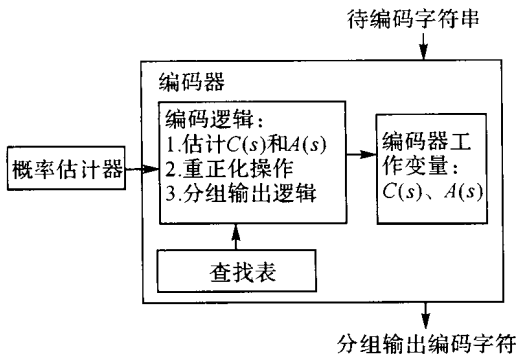


图3 快速二值分组算术编码器的结构

Fig. 3 Structure of rapid binary block arithmetic coder

在实现中，算法的许多诸如 2^r 形式的乘法，均可以用二进制移位操作来完成，所以本质上整个算法没有任何乘法运算。至于概率估计算法，只需要对应符号的估计概率量化级，如果采用传统的频率计数方法，则还需要进行量化操作，反而导致整个编码算法的计算量增加，因此，在实际应用中可以采用与本算法类似的思路进行查表操作，直接得到估计概率的量化级，则整个编码器的速度会得到较大幅度的提升。

3 编码效率测试

图4给出了本编码器(包括概率估计算法)在二值离散无记忆信源下的编码效率测试结果(图中，概率变化在0.5~1.0，得到编码器在不同概率下平均每字符的码字长度，用此平均码长减去对应的熵值，即为编码后的冗余度，测试的编码器参数为 $N=32, M=8, R=1, K=16$)。图5^[6]给出了QM编码器(QM编码器的软件实现版本)和FSM编码器的效率

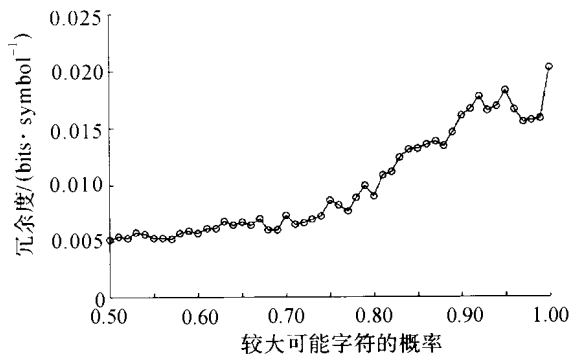


图4 快速二值分组算术编码器的冗余度

Fig. 4 Redundancy of rapid binary block arithmetic coder

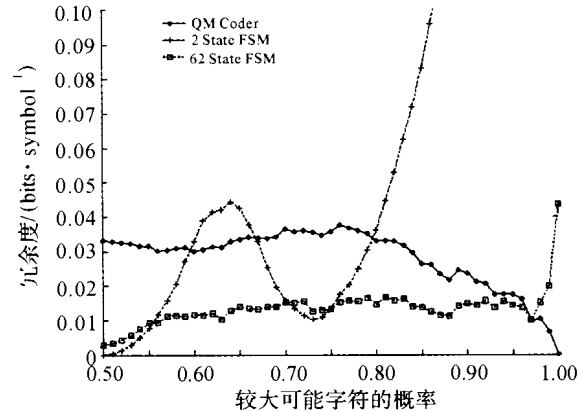


图5 QM编码器和FSM编码器的冗余度

Fig. 5 Redundancy of QM coder and FSM coder

测试结果。通过比较可以看出，在大多数情况下，本编码器的冗余度为最低(低于0.01 bits/symbol)，FSM编码器次之，QM编码器最差，因此本编码器的总体性能最好，最接近源编码理论的理论下限。

4 结语

本文给出的快速二值分组算术编码器无论是在编码效率还是在编码速度上都是令人满意的，其优点有：

- (1) 算法实现简单，编码和解码速度快；
- (2) 编码效率高；
- (3) 如果信道发生错误，错误只局限于出错的某一分组码内。

从压缩算法的系统设计来看，一个编码效率最高但是速度很慢的编码器并没有多大的实用价值，因为大多数自适应压缩技术的概率估计算法会引入较大的概率偏差，即使编码器无任何编码效率损失也无济于事，相反，设计一个编码效率较高但十分快速的编码器，而同时将节省的时间用于增强统计建模和概率估计的算法，反而能提高系统整体的压缩性能。

(下转第477页)

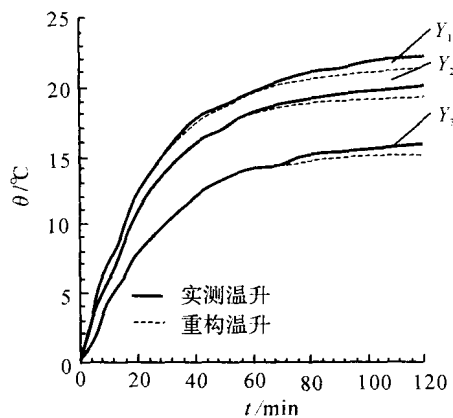


图2 重构温升曲线比较

Fig. 2 Contrast between reconfigurable temperature and measurement result

4 结论

(1) 奇异值分解识别精密机械热动态参数是一种行之有效的新方法。该方法通过构造热脉冲响应数据,采用奇异值分解方法求得系统的热特征值,从而获得热动态特性参数,实例研究表明是成功的。

(2) 采用奇异值分解算法,相当于对噪声进行了一次滤波,被滤掉的是对应于奇异值为零的那些与输入、输出无关的随机噪声,提高了抗噪声干扰能力,避免了在模态转化过程中产生的计算误差和虚假模态现象。

(3) 本文提出的新方法可成为采用运行试验法数据分析获取热动态特性的一条新途径,并可有效缩短试验时间。

(上接第464页)

参考文献(References):

- [1] HUFFMAN D A. A method for the construction of minimum-redundancy codes [J]. *Proceedings of the Institute of Radio Engineers*, 1953, 40(9): 1098—1101.
- [2] LANGDON Jr G G, RISSANEN J. A simple general binary source code [J]. *IEEE Trans Inform Theory*, 1982, IT-28(5): 800—803.
- [3] WITTEN I H, NEAL R M, CLEARY J G. Arithmetic coding for data compression [J]. *Communications of the ACM*, 1987, 30(6): 520—540.

参考文献(References):

- [1] BRYAN J. International status of thermal error research [J]. *Ann CIRP*, 1990, 39(2): 645—656.
- [2] WECK M, MCKEOWN P, BONSE R, et al. Reduction and compensation of thermal error in machine tools [J]. *Ann CIRP*, 1995, 44(2): 589—597.
- [3] MITSUISHI M, WARISAWA S, HANAYAMA R. Development of an intelligent high-speed machining center [J]. *Ann CIRP*, 2001, 50(1): 275—280.
- [4] RAMESH R, MANNAN M A, POO A N. Error compensation in machine tools — A review Part I : Thermal errors [J]. *Int J of Mach Tools Manufact*, 2000, 40(9): 1257—1284.
- [5] JEDRZEJEWSKI J. Numerical optimization of thermal behaviour of machine tools [J]. *Ann CIRP*, 1990, 39(2): 379—382.
- [6] DU Z C, YANG J G, Yao Z Q, et al. Modeling approach of regression orthogonal experiment design for the thermal error compensation of a CNC turning center [J], *J Mater Process Technol*, 2002, 129(1—3): 619—623.
- [7] KLEMA V C, LAUB J A. Singular value decomposition: its computation and some application [J]. *IEEE Trans AC*, 1980, 25(2): 164—176.
- [8] 傅建中. 精密机械热动态监控理论及应用研究[D]. 杭州: 浙江大学, 1996.
- FU Jian-zhong. Study on theory and application of thermal dynamical monitoring and control of precision machine[D]. Hangzhou: Zhejiang University, 1996.

- [4] BONCELET C G. Block arithmetic coding for source compression [J]. *IEEE Trans Inform Theory*, 1993, 39(5): 1546—1554.
- [5] PENNEBAKER W B, MITCHELL J L, LANGDON G G, et al. An overview of the basic principles of the Q-Coder adaptive binary arithmetic coder [J]. *IBM J Res Develop*, 1988, 32(6): 717—726.
- [6] GORMISH M J. Source coding with channel, distortion, and complexity constraints [D]. Stanford: Stanford University, 1994.